

## Arvutuslik paindemoment

Teist järku momenti sisaldava üldise paindemomendi võib avaldada kujul:

$$M_{Ed} = M_{0Ed} \left[ 1 + \frac{\beta}{(N_B/N_{Ed}) - 1} \right] \quad (10.77)$$

kus  $M_{0Ed}$  esimest järku paindemoment koos konstruktsioonihälvete mõjuga

$N_{Ed}$  arvutuslik normaaljöud

$N_B$  nimijäikusest lähtuv nõtkekoormus

$\beta$  paindemomentide jaotusest olenev tegur, valem (10.79)

Eraldiseisva tsentriliselt koormatud konstantse ristlõikega elemendi nõtkekoormus

$$N_B = \frac{\pi^2 EI}{l_0^2} \quad (10.78)$$

kus  $l_0$  elemendi arvutuspikkus

$EI$  ristlõike nimijäikus, valem (10.71)

$$\beta = \pi^2 / c_0 \quad (10.79)$$

kus  $c_0$  on esimest järku paindemomentide

$M_0 = N_{Ed} e_0$  jaotusest (vt joonis 10.43) olenev tegur:

konstantse  $M_0$  korral (joonis 10.43a)  $c_0 = 8$

parabolse  $M_0$  jaotuse korral  $c_0 = 9,6$

sümmeetrisel kolmnurkse  $M_0$  jaotuse korral  $c_0 = 12$

Erinevate esimest järku otsamomentide  $M_{01}$  ja  $M_{02}$  korral (joonis 10.43, b ja c) võib pöikkoormuseta elemendi arvutamisel lähtuda ekvivalentsest konstantsest esimest järku paindemomendist  $M_{0c}$  (tegor  $c_0 = 8$ ):

$$M_{0c} - 0,6M_{02} + 0,4M_{01} \geq 0,4 M_{02} \quad (10.80)$$

kus  $M_{01}$  ja  $M_{02}$  loetakse samamärgilisteks, kui need põhjustavad tõmbe elemendi samal küljal ja kus  $|M_{02}| \geq |M_{01}|$ .

Otsaristlõiget kontrollitakse paindemomendi  $M_0 = N_{Ed} e_0$  suhtes.

Kui valemi (10.79) puhul antud soovitused  $c_0$  määramiseks ei ole rakendatavad, võib lihtsustusena võtta  $\beta = 1$ . Sellisel juhul saab valemi (10.77) avaldada kujul

$$M_{Ed} = \frac{M_{0Ed}}{1 - (N_{Ed}/N_B)} \quad (10.81)$$

## VILDAKPAINE

Vildakpaine korral võib esimese sammuna teha arvutuse, eirates vildakpaineet eraldi kummaski peasununas, võttes konstruktsioonihälbeid arvesse ainult ebasoodsamas suunas. Edasine kontroll ei ole vajalik, kui on rahuldatud mõlemad tingimused (10.82, a)

$$\lambda_y/\lambda_z \leq 2 \text{ ja } \lambda_z/\lambda_y \leq 2 \quad (10.82, a)$$

ja üks tingimustest (10.82, b) (vt joonis 10.44):

$$\frac{e_y/h_{eq}}{e_z/b_{eq}} \leq 0,2 \text{ või } \frac{e_z/b_{eq}}{e_y/h_{eq}} \leq 0,2 \quad (10.82b)$$

kus  $\lambda_y/\lambda_z$  saledus  $l_0/i$  vastavalt telje  $y$  ja  $z$  suhtes  $b, h$  ristlõike laius ja kõrgus

$b_{eq} = i_y \sqrt{12}$  ja  $h_{eq} = i_z \sqrt{12}$  ristlõike ekvivalentlaius, ristkülikristlõikel  $b_{eq} = b$  ja  $h_{eq} = h$

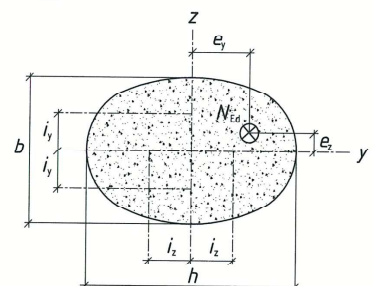
$i_y, i_z$  ristlõike inertsiraadius telgede  $y$  ja  $z$  suhtes

$e_z = \frac{M_{Edy}}{N_{Ed}}$  ekstsentrilisus telje  $z$  suunas

$e_y = \frac{M_{Edz}}{N_{Ed}}$  ekstsentrilisus telje  $y$  suunas

$M_{Edy}, M_{Edz}$  arvutuslik paindemoment telgede  $y$  ja  $z$  suhtes, kaasa arvatud teist järku moment

$N_{Ed}$  arvutuslik normaaljöud



Joonis 10.44. Ristlõike peatuled ja ekstsentrilised  $e_y$  ja  $e_z$

Kui tingimused (10.82) ei ole täidetud, tuleks vildakpaine arvesse võtta. Täpse arvutuse puudumisel võib kasutada lihtsustatud kandevõimekriteeriumi:

$$\left( \frac{M_{Edz}}{M_{Rdz}} \right)^a + \left( \frac{M_{Edy}}{M_{Rdy}} \right)^a \leq 1,0 \quad (10.83)$$

kus  $M_{Rdy}, M_{Rdz}$  on arvutuslik paindekandevõime vastava telje suhtes normaaljöö  $N_{Ed}$  korral astendaja  $a$  on ring- ja ellipsristlõikel  $a = 2$  ristkülikristlõikel sõltub  $a$  suhtes  $N_{Ed}/N_{Rd}$

| $N_{Ed}/N_{Rd}$ | 0,1 | 0,7 | 1,0 |
|-----------------|-----|-----|-----|
| $a$             | 1,0 | 1,5 | 2,0 |

vahepealsed väärised interpoleeritakse

$N_{Ed}$  arvutuslik normaaljöud

$N_{Rd} = A_c f_{cd} + A_s f_{yd}$  on ristlõike arvutuslik kandevõime tsentrilisel survel

$A_c, A_s$  betoonristlõike ja pikiammatuuri pindala

## 10.8. RIBIPLAAT- JA RISTKÜLIK-RISTLÖIKE KANDEVÕIME KONTROLL

Käesolevas punktis käsitletakse eelpingeta ristkülik- või ribiplaatristlõikega (joonis 10.45) painutatud, surutud või suure ekstsentrilisusega tömmatud elemente, milles paindemoment või pikijöud mõjub elemendi sümmeetriatasandis.

Arvutus lähtub vaadeldava ristlõike tasakaalutingimustest ja punkti 10.6.2 eeldustest.

Armatuuri arvutuslik surve tugevuse  $f_{ycd} - f_{yd} \leq 440$  MPa. Tõmbearmatuuri pingeloe takse positiivseks tõmbel, survearmatuuri pingeloe survevl. Pikijöud (normaaljöud) on positiivne surve. Ristlõike deformatsiooni- ja pingegaotus kandepiirseisundis vastab joonisele 10.38.

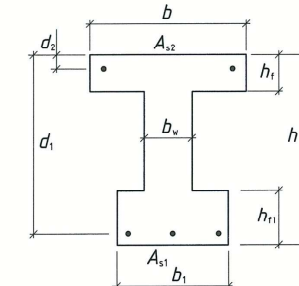
### Tugevustingimus

Tugevustingimuseks on painutatud elemendil

$$M_{Ed} \leq M_{Rd} = \eta f_{cd} S_c + \sigma_{s2} A_{s2} (d_1 - d_2) \quad (10.84)$$

ja surutud või tömmatud elemendil

$$(Ne)_{Ed} = N_{Ed} e \leq (Ne)_{Rd} = \eta f_{cd} S_c + \sigma_{s2} A_{s2} (d_1 - d_2) \quad (10.85)$$



Joonis 10.45. Ribiplaatristlõike tähised

## Survetsooni kõrgus

Survetsooni kõrgus  $x$  (või arvutuskõrgus  $y = \lambda x$ ) leitakse ristlõikes esinevate piikkjöudude tasakaalutingimusest kandepiirseisundis (joonis 10.38):

$$\eta f_{cd} A_c - \sigma_{s1} A_{s1} + \sigma_{s2} A_{s2} - N_{Ed} = 0 \quad (10.86)$$

Pinged  $\sigma_{s1}$  ja  $\sigma_{s2}$  avaldatakse surve tsooni kõrguse  $x$  ja betooni piirsurvedeformatsiooni  $\varepsilon_{cu3}$  kaudu, kusjuures  $-f_{yed} \leq \sigma_{s1} \leq f_{yd}$  ja  $-f_{yd} \leq \sigma_{s2} \leq f_{yed}$

Valemites (10.84) kuni (10.86):

$N_{Ed}$  pikijöud (normaaljöud) ristlõikes (positiivne surve, negatiivne tõmbe korral)

$M_{Rd}, (Ne)_{Rd}$  arvutuslik kandevõime tömmatud (või vähemsurutud) armatuuri ristlõikepindala

$A_{s2}$  surutud (või enamsurutud) armatuuri ristlõikepindala

$e$  pikijöud ekstsentrilisus armatuuri  $A_{s1}$  raskuskeset läbiva telje  $s-s$  suhtes

$A_c$  betooni surve tsooni (kõrgusega  $y = \lambda x$ ) arvutuspindala, vt valemid (10.87)... (10.94)

$S_c$  surve tsooni arvutuspinnal  $A_c$  staatiline moment telje  $s-s$  suhtes, vt valemid (10.87')...(10.94')

$d_1$  ristlõike kasuskõrgus

$d_2$  armatuuri  $A_{s2}$  raskuskeske kaugus ristlõike enamsurutud servast

$\sigma_{s1}$  armatuuri  $A_{s1}$  pingeloe kandepiirseisundis (positiivne tõmbel)

$\sigma_{s2}$  armatuuri  $A_{s2}$  pingeloe kandepiirseisundis (positiivne surve)

$\eta, \lambda$  vt tabel 10.1;  $f_{ek} \leq 50$  MPa korral  $\eta = 1,0$  ja  $\lambda = 0,8$

## A<sub>c</sub> ja S<sub>c</sub> arvutamise valemid

### I-ristlõige

1.  $0 \leq x \leq h_f/\lambda$

$$A_c = \lambda x b \quad (10.87)$$

$$S_c = \lambda x b (d_1 - 0,5\lambda x) \quad (10.87')$$

2.  $h_f/\lambda \leq x \leq (h-h_{fl})/\lambda$

$$A_c = \lambda x b_w + (b - b_w) h_f \quad (10.88)$$

$$S_c = \lambda x b_w (d - 0,5\lambda x) + (b - b_w) h_f (d_1 - 0,5h_p) \quad (10.88')$$

3.  $(h-h_{fl})/\lambda \leq x \leq h/\lambda$

$$A_c = \lambda x b_w + (b - b_w) h_f + (b_1 - b_w) (\lambda x - h + h_{fl}) \quad (10.89)$$

$$S_c = \lambda x b_w (d - 0,5\lambda x) + (b - b_w) h_f (d_1 - 0,5h_p) + (b_1 - b_w) (\lambda x - h + h_{fl}) [d_1 - 0,5(\lambda x + h - h_{fl})] \quad (10.89')$$

4.  $x > h/\lambda$

$$A_c = A_{c0} = h b_w + (b - b_w) h_f + (b_1 - b_w) h_{fl} \quad (10.90)$$

$$S_c = S_{c0} = h b_w (d_1 - 0,5h) + (b - b_w) h_f (d_1 - 0,5h_p) + (b_1 - b_w) h_{fl} (d_1 - h + 0,5h_{fl}) \quad (10.90')$$

$$S_{cc} = 0,5 b_w h^2 + 0,5(b - b_w) h_f^2 + (b_1 - b_w) h_{fl} (h - 0,5h_{fl}) \quad (10.90'')$$

### T-ristlõige ( $b_1 = b_w, h_{fl} = 0$ )

1.  $0 \leq x \leq h_f/\lambda$

$$A_c \text{ vt valem } (10.87)$$

$$S_c \text{ vt valem } (10.87')$$

2.  $h_f/\lambda \leq x \leq h/\lambda$

$$A_c \text{ vt valem } (10.88)$$

$$S_c \text{ vt valem } (10.88')$$

3.  $x > h/\lambda$

$$A_c = A_{c0} = h b_w + (b - b_w) h_f \quad (10.91)$$

$$S_c = S_{c0} = h b_w (d_1 - 0,5h) + (b - b_w) h_f (d_1 - 0,5h_p) \quad (10.91')$$

$$S_{cc} = 0,5 b_w h^2 + 0,5(b - b_w) h_f^2 \quad (10.91'')$$

### L-ristlõige ( $b = b_w, h_f = 0$ )

1.  $0 \leq x \leq (h-h_{fl})/\lambda$

$$A_c = \lambda x b_w \quad (10.92)$$

$$S_c = \lambda x b_w (d_1 - 0,5\lambda x) \quad (10.92')$$

2.  $(h-h_{fl})/\lambda \leq x \leq h/\lambda$

$$A_c = \lambda b_w x + (b_1 - b_w) (\lambda x - h + h_{fl}) \quad (10.93)$$

$$S_c = \lambda x b_w (d - 0,5\lambda x) + (b_1 - b_w) (\lambda x - h + h_{fl}) [d_1 - 0,5(\lambda x + h - h_{fl})] \quad (10.93')$$

3.  $x > h/\lambda$

$$A_c = A_{c0} = h b_w + (b_1 - b_w) h_{fl} \quad (10.94)$$

$$S_c = S_{c0} = h b_w (d_1 - 0,5h) + (b - b_w) h_{fl} (d_1 - h + 0,5h_{fl}) \quad (10.94')$$

$$S_{cc} = 0,5 b_w h^2 + (b_1 - b_w) h_{fl} (h - 0,5h_{fl}) \quad (10.94'')$$

### Ristikülikristlõige ( $b_1 = b, h_f = h_{fl} = 0$ )

1.  $0 \leq x \leq h/\lambda$

$$A_c \text{ vt valem } (10.87)$$

$$S_c \text{ vt valem } (10.87')$$

2.  $x > h/\lambda$

$$A_c = A_{c0} = b h$$

$$S_c = S_{c0} = b h (d_1 - 0,5h)$$

$$S_{cc} = 0,5 b h^2$$

## Abisuuruste arvutamise valemid

$$\alpha_{s1} = \frac{f_{yd}\rho_1}{\eta f_{cd}} \quad \alpha_{s1c} = \frac{f_{yed}\rho_1}{\eta f_{cd}} \quad \alpha_{s1c,u} = \frac{\sigma_{sc,u}\rho_1}{\eta f_{cd}} \\ \alpha_{s2} = \frac{f_{yd}\rho_2}{\eta f_{cd}} \quad \alpha_{s2c} = \frac{f_{yed}\rho_2}{\eta f_{cd}} \quad \alpha_{s2c,u} = \frac{\sigma_{sc,u}\rho_2}{\eta f_{cd}} \quad (10.95)$$

$$\text{Ristikülikristlõikel} \quad \rho_1 = \frac{A_{s1}}{bd_1} \quad \rho_2 = \frac{A_{s2}}{bd_1} \quad (10.96)$$

$$\text{ribiplaatristlõikel} \quad \rho_1 = \frac{A_{s1}}{b_w d_1} \quad \rho_2 = \frac{A_{s2}}{b_w d_1} \quad (10.96')$$

$$\text{Ristikülikristlõikel} \quad \alpha_n - \frac{N_{Ed}}{\eta f_{cd} bd_1} \quad \alpha_{0v} = \alpha_{1v} = 0 \quad (10.97)$$

$$\text{ribiplaatristlõikel} \quad \alpha_n = \frac{N_{Ed}}{\eta f_{cd} b_w d_1} \quad \alpha_{0v} = \frac{(b - b_w) h_f}{b_w d_1} \quad \alpha_{1v} = \frac{(b_1 - b_w)(h - h_{fl})}{b_w d_1} \quad (10.97')$$

$$\delta_d = \frac{d_2}{d_1} \quad \sigma_{sc,u} = E_{cu3} E_s \quad (10.98)$$

Tähised valemitest (10.95)...(10.98) vastavad joonistele 10.38 ja 10.45.

## Survetsooni suhteline kõrgus

Survetsooni suhteline kõrgus  $\xi = \frac{x}{d_1}$  on määratav valemiga

$$\xi = \lambda_1 + \sqrt{\lambda_1^2 + \lambda_2} \quad (10.99)$$

$$\text{kus } \lambda_1 = 0,5 k_0 (\alpha_{s1} + \alpha_{s2} + \alpha_v + \alpha_n) / \lambda \quad (10.100)$$

$$\lambda_2 = k_0 (\alpha_{s1c,u} + \alpha_{s2c,u} \delta_d) / \lambda \quad (10.101)$$

Valemites (10.100) ja (10.101):

- parameetrid  $a_{s1}$ ,  $a_{s1c,u}$ ,  $a_{s2}$ , ja  $a_{s2c,u}$  on antud tabelis 10.22 sõltuvalt armatuurist ( $A_{s1}$  või  $A_{s2}$ ) ja nulljoone asukohast; tabelis esinevad surveetsooni suhtelised piirkõrgused  $\xi_c$  ja  $\xi_{c2}$  määratatakse valemitega (10.102) ja (10.103).  $f_{ck} \leq 50$  MPa korral on  $\xi_c$  ja  $\xi_{c2}$  antud tabelis 10.24;

- tegur  $k_0$  ja parameeter  $a_v$  on antud tabelis 10.23 olenevalt ristlõike tüübist ja nulljoone asukohast;

- parameeter  $\alpha_n$  on antud valemitega (10.97) või (10.97').

$$\xi_c = \frac{\epsilon_{cu3}}{\epsilon_{cu3} + \epsilon_{yd}} \quad (10.102)$$

$$\xi_{c2} = \frac{\epsilon_{cu3}}{\epsilon_{cu3} - \epsilon_{yed}} \quad (10.103)$$

Tabel 10.22. Armatuuri pinge  $\sigma_s$  ning tegurid  $a_s$  ja  $a_{sc,u}$  ( $x \leq h/\lambda$ )

| Armatuur $A_{s1}$                |                               |              |             |  |
|----------------------------------|-------------------------------|--------------|-------------|--|
| Piirkond                         | $\sigma_{s1}$                 | $a_{s1}$     | $a_{s1c,u}$ |  |
| 1 $x \leq \xi_c d_1$             | $f_{yd}$                      | $a_{s1}$     | 0           |  |
| 2 $\xi_c d_1 < x < \xi_{c2} d_1$ | $\sigma_{sc,u} (d_1 / x - 1)$ | $-a_{s1c,u}$ | $a_{s1c,u}$ |  |
| 3 $x \geq \xi_{c2} d_1$          | $-f_{yed}$                    | $-a_{s1c}$   | 0           |  |

| Armatuur $A_{s2}$                |                               |              |             |  |
|----------------------------------|-------------------------------|--------------|-------------|--|
| Piirkond                         | $\sigma_{s2}$                 | $a_{s2}$     | $a_{s2c,u}$ |  |
| 1 $x \leq \xi_c d_2$             | $-f_{yd}$                     | $a_{s2}$     | 0           |  |
| 2 $\xi_c d_2 < x < \xi_{c2} d_2$ | $\sigma_{sc,u} (1 - d_2 / x)$ | $-a_{s2c,u}$ | $a_{s2c,u}$ |  |
| 3 $x \geq \xi_{c2} d_2$          | $f_{yed}$                     | $-a_{s2c}$   | 0           |  |

$\xi_c$  ja  $\xi_{c2}$  vt valemid (10.102) ja (10.103),  $f_{ck} \leq 50$  MPa korral tabel 10.24

$a_{s1}$ ,  $a_{s1c}$ ,  $a_{s1c,u}$ ,  $a_{s2}$ ,  $a_{s2c}$  ja  $a_{s2c,u}$  vt valemid (10.95);  $\sigma_{sc,u} = \epsilon_{cu3} E_s$ ,  $f_{ck} \leq 50$  MPa korral  $\sigma_{sc,u} = 700$  MPa

Tabel 10.23. Parameetrid  $a_v$  ja  $k_0$

### I- ristlõige

|   | $x$   | $a_v$          | $k_0$     |
|---|---|----------------|-----------|
| 1 | $0 \leq x \leq h_f/\lambda$                 | 0              | $b_w/b$   |
| 2 | $h_f/\lambda < x \leq (h - h_{fl})/\lambda$ | $-a_{0v}$      | 1         |
| 3 | $(h - h_{fl})/\lambda < x \leq h/\lambda$   | $a_{1v} - a_v$ | $b_w/b_1$ |

### T- ristlõige

|   | $x$                              | $a_v$     | $k_0$   |
|---|----------------------------------|-----------|---------|
| 1 | $0 \leq x \leq h_f/\lambda$      | 0         | $b_w/b$ |
| 2 | $h_f/\lambda < x \leq h/\lambda$ | $-a_{0v}$ | 1       |

### L-ristlõige

|   | $x$                                       | $a_v$ | $k_0$     |
|---|---|-------|-----------|
| 1 | $0 \leq x \leq (h - h_{fl})/\lambda$      | 0     | $b_w/b$   |
| 2 | $(h - h_{fl})/\lambda < x \leq h/\lambda$ | $a_v$ | $b_w/b_1$ |

$a_{0v}$  ja  $a_{1v}$  vt valemid (10.97) ja (10.97')

## Armatuuri pinge kandepiirseisundis

Armatuuri  $A_{s1}$  pinge:

$$x \leq \xi_c d_1 \quad \sigma_{s1} = f_{yd}$$

$$\xi_c d_1 < x \leq \xi_{c2} d_1 \quad \sigma_{s1} = \sigma_{sc,u} (d_1 / x - 1) \quad (10.104)$$

$$x > \xi_{c2} d_1 \quad \sigma_{s1} = -f_{yed}$$

Armatuuri  $A_{s2}$  pinge:

$$x \leq \xi_c d_2 \quad \sigma_{s2} = -f_{yd}$$

$$\xi_c d_2 < x \leq \xi_{c2} d_2 \quad \sigma_{s2} = \sigma_{sc,u} (1 - d_2 / x) \quad (10.105)$$

$$x > \xi_{c2} d_2 \quad \sigma_{s2} = f_{yed}$$

$$x = \frac{f_{yd} A_{s1} - f_{yed} A_{s2} \pm N_{Ed}}{\lambda \eta f_{cd} b} \quad (10.106)$$

Kui ribiplaatristlõikel saadud  $x > h_f/\lambda$ , siis esialgne surveetsooni kõrgus

$$x = \frac{f_{yd} A_{s1} - f_{yed} A_{s2} - \eta f_{cd} h_f (b - b_w) \pm N_{Ed}}{\lambda \eta f_{cd} b_w} \quad (10.107)$$

Valemites (10.106) ja (10.107) võetakse painde korral  $N_{Ed} = 0$ , surve korral  $+N_{Ed}$  ja tõmbe korral  $-N_{Ed}$ .

Kui valemiga (10.106) või (10.107) leitud  $x \leq \xi_c d_1$  ja  $x \geq \xi_{c2} d_2$  ning ribiplaatristlõikel  $x \leq (h - h_{fl})/\lambda$ , on saadud x suurus lõplik ja kandevõimet kontrollitakse valemiga (10.84) või (10.85), võttes seal  $\sigma_{s2} = f_{yed}$ .  $S_c$  arvutatakse valemitega (10.87)... (10.94').

Suhiteliselt väikese ekstsentrilisusega surve korral võiks esialgse x määramisel võtta  $x > \xi_c d_1$  ja  $x \geq \xi_{c2} d_2$ .

Kui  $x > \xi_c d_1$  või  $x < \xi_{c2} d_2$ , siis leitakse surveetsooni suhteline kõrgus  $\xi = \frac{x}{d_1}$  valemiga (10.99) järgulise lähenemise teel:

Tabel 10.24. Survetsooni suhtelised piirkõrgused  $\xi_c$ ,  $\xi_{c2}$  ja  $\omega_c$  ning tegur  $\mu_c$

( $f_{ck} \leq 50$  MPa,  $\epsilon_{cu3} = 0,0035$ ,  $\lambda = 0,8$ )

| $f_{yk}$ MPa | $\xi_c$ | $\xi_{c2}$ | $\omega_c$ | $\mu_c$ | Armatuuriteras     |
|--------------|---------|------------|------------|---------|--------------------|
| 295          | 0,732   | 1,578      | 0,585      | 0,414   | A-II               |
| 390          | 0,674   | 1,940      | 0,539      | 0,394   | A-III              |
| 400          | 0,668   | 1,988      | 0,534      | 0,392   | EN*                |
| 450          | 0,641   | 2,268      | 0,513      | 0,381   | EN*                |
| 490          | 0,622   | 2,556      | 0,497      | 0,374   | Bp-1               |
| 500          | 0,617   | 2,639      | 0,493      | 0,372   | EN*, A500HW, B500K |
| 550          | 0,594   | 3,157      | 0,475      | 0,362   | EN*                |
| 600          | 0,573   | 3,927      | 0,458      | 0,353   | EN*, B600KX        |
| 650          | 0,553   | 5,194      | 0,443      | 0,345   | EN*                |
| 700          | 0,535   | 7,667      | 0,428      | 0,336   | A700HW             |

$$\xi_c = \frac{0,0035}{0,0035 + \epsilon_{yd}} \quad \xi_{c2} = \frac{0,0035}{0,0035 - \epsilon_{yed}} \quad \omega_c = 0,8 \xi_c \quad \mu_c = \omega_c (1 - 0,5 \omega_c)$$

EN\* on standardi EVS-EN 10080 nõuetele vastav armatuuritas

- valitakse ette nulljoone paiknemise oletatav piirkond, lähtuda võib esialgselt määratud  $x$  suurusest;
- tabelite 10.22 ja 10.23 abil avaldatakse valemite (10.100) ja (10.101) suurused  $a_{s1}$ ,  $a_{s1c,u}$ ,  $a_{s2}$ ,  $a_{s2c,u}$  ja  $a_c$ , tegurite  $\alpha_{s1}$ ,  $\alpha_{s1c}$ ,  $\alpha_{s1c,u}$ ,  $\alpha_{s2}$ ,  $\alpha_{s2c,u}$  ja  $\alpha_v$  kaudu ning määratakse  $k_0$ ;
- arvutatakse tegurid  $\lambda_1$ ,  $\lambda_2$ , surveetsooni suhteline kõrgus  $\xi$  ja surveetsooni täpsustatud kõrgus  $x = \xi d_1$  ning leitakse sellele vastavad armatuuri pinged  $\sigma_{s1}$  ja  $\sigma_{s2}$ ;
- kui armatuuri pinged jäävad piiridesse  $f_{yd} \leq \sigma_{s1} \geq -f_{yd}$  ja  $f_{yed} \geq \sigma_{s2} \geq -f_{yed}$ , siis on leitud  $x$  lõplik. Vastasel juhul korratakse arvutust, lähtudes viimases surveetsooni kõrgusest.

Kandevõimet kontrollitakse valemiga (10.84) või (10.85), kus  $S_c$  arvutatakse valemitega (10.87')..(10.94') ja armatuuri  $A_{s2}$  pinge valemiga (10.105).

#### Kandevõime kontroll $x \geq h/\lambda$ korral

Väga väikese ekstsentrilisusega surve korral võib kogu betoonristlõige osutuda surutuks, mistöttu  $y = h$  ja  $x \geq h/\lambda$ . Sellisel juhul ristlõikes betooniga ja armatuuri  $A_{s2}$  vastu võetavad survejõud on konstantsed ning ristlõike kandevõime suurus oleneb armatuuri  $A_{s1}$  survepinge värtustest kandepeirseisundis. Ristlõike kandevõimet kontrollitakse paindemomendi  $M_{Ed}$  ja normaaljõu  $N_{Ed}$  suhtes. Normaaljõud  $N_{Ed}$  loetakse rakendatuks ristlõike plastses raskuskeskmes, so punktis, kus tsentrilisel surve paikneb betooni ja terase piirsisejõudude resultant. Plastse raskuskeskme kaugus ristlõike enamsurutud servest  $x_p$  leitakse tsentriliselt surutud ristlõike momentide tasakaalutingimusest piirlukorras

$$x_p = \frac{\eta f_{cd} S_{ce} + f_{yed} A_{s2} d_2 + f_{yd} A_{s1} d_1}{\eta f_{cd} A_{c0} + f_{yed} (A_{s1} + A_{s2})}$$

Ristlõike kandevõime on tagatud, kui samaaegselt on rahuldatud tugevustingimused

$$N_{Ed} \leq N_{Rd,0} = \eta f_{cd} A_{c0} + f_{yed} (A_{s2} + A_{s1}) \quad (10.108)$$

$$M_{Ed} \leq M_{Rd} = \eta f_{cd} S_{ce} + f_{yed} A_{s2} (d_1 - d_2) - N_{Ed} (d_1 - x_p) \quad (10.109)$$

Toodud valemites (vt alapunkt  $A_c$  ja  $S_c$  arvutamise valemid)

$A_{c0}$  betoonristlõike kogupindala

$S_{ce}, S_{c0}$  pinna  $A_{c0}$  staatiline moment vastavalt ristlõike surutud serva ja armatuuri  $A_{s1}$  raskuskeset läbiva telje suhtes

## 10.9. PAINE

Vaadeldakse surutud ja tömmatud serva juurde koondatud armatuuri ristkülikristlõiget (joonis 10.46) ja surveetsoonis asuva plaatiga ribiplatristlõiget (joonis 10.49), mis vastavad punkti 10.8 üldsatetele. Erinevalt punktist 10.8 käsitleetakse elemente, kus betooni tugevusklass ei ole suurem kui C50/60 ja  $f_{ck} \leq 50 \text{ MPa}$ ,  $\lambda = 0.8$ ,  $\eta = 1.0$ ,  $\epsilon_{cu3} = 0.0035$ .

Mõisted ja abisuurused

$x$  surveetsooni kõrgus,

$y = 0.8x$  surveetsooni arvutuskõrgus,

$\xi$ ,  $\omega$ ,  $\mu$  ja  $\zeta$  vt tabel 10.25

$$\delta_d = \frac{d_2}{d_1} \quad \sigma_{sc,u} = 700 \text{ MPa}$$

$\alpha_{s1}$ ,  $\alpha_{s1c,u}$ ,  $\alpha_{s2c}$  ja  $\alpha_{s2c,u}$  vt valemid (10.95), kus

$$\eta = 1.0$$

$\xi_c$ ,  $\xi_{c2}$ ,  $\omega_c$  ja  $\mu_c$  vt tabel 10.24

Tabel 10.25. Tegurid  $\omega$ ,  $\xi$ ,  $\mu$  ja  $\zeta$  ( $\lambda = 0.8$ ,  $\eta = 1.0$ )

| $\omega = \frac{y}{d_1}$ | $\xi = \frac{x}{d_1}$ | $\mu$ | $\zeta$ | $\omega = \frac{y}{d_1}$ | $\xi = \frac{x}{d_1}$ | $\mu$ | $\zeta$ | $\omega = \frac{y}{d_1}$ | $\xi = \frac{x}{d_1}$ | $\mu$ | $\zeta$ |
|--------------------------|-----------------------|-------|---------|--------------------------|-----------------------|-------|---------|--------------------------|-----------------------|-------|---------|
| 0,01                     | 0,013                 | 0,010 | 0,995   | 0,26                     | 0,325                 | 0,226 | 0,870   | 0,51                     | 0,638                 | 0,380 | 0,745   |
| 0,02                     | 0,025                 | 0,020 | 0,990   | 0,27                     | 0,338                 | 0,234 | 0,865   | 0,52                     | 0,650                 | 0,385 | 0,740   |
| 0,03                     | 0,038                 | 0,030 | 0,985   | 0,28                     | 0,350                 | 0,241 | 0,860   | 0,53                     | 0,663                 | 0,390 | 0,735   |
| 0,04                     | 0,050                 | 0,039 | 0,980   | 0,29                     | 0,363                 | 0,248 | 0,855   | 0,54                     | 0,675                 | 0,394 | 0,730   |
| 0,05                     | 0,063                 | 0,049 | 0,975   | 0,30                     | 0,375                 | 0,255 | 0,850   | 0,55                     | 0,688                 | 0,399 | 0,725   |
| 0,06                     | 0,075                 | 0,058 | 0,970   | 0,31                     | 0,388                 | 0,262 | 0,845   | 0,56                     | 0,700                 | 0,403 | 0,720   |
| 0,07                     | 0,088                 | 0,068 | 0,965   | 0,32                     | 0,400                 | 0,269 | 0,840   | 0,57                     | 0,713                 | 0,408 | 0,715   |
| 0,08                     | 0,100                 | 0,077 | 0,960   | 0,33                     | 0,413                 | 0,276 | 0,835   | 0,58                     | 0,725                 | 0,412 | 0,710   |
| 0,09                     | 0,113                 | 0,086 | 0,955   | 0,34                     | 0,425                 | 0,282 | 0,830   | 0,59                     | 0,738                 | 0,416 | 0,705   |
| 0,10                     | 0,125                 | 0,095 | 0,950   | 0,35                     | 0,438                 | 0,289 | 0,825   | 0,60                     | 0,750                 | 0,420 | 0,700   |
| 0,11                     | 0,138                 | 0,104 | 0,945   | 0,36                     | 0,450                 | 0,295 | 0,820   | 0,62                     | 0,775                 | 0,428 | 0,690   |
| 0,12                     | 0,150                 | 0,113 | 0,940   | 0,37                     | 0,463                 | 0,302 | 0,815   | 0,64                     | 0,800                 | 0,435 | 0,680   |
| 0,13                     | 0,163                 | 0,122 | 0,935   | 0,38                     | 0,475                 | 0,308 | 0,810   | 0,66                     | 0,825                 | 0,442 | 0,670   |
| 0,14                     | 0,175                 | 0,130 | 0,930   | 0,39                     | 0,488                 | 0,314 | 0,805   | 0,68                     | 0,850                 | 0,449 | 0,660   |
| 0,15                     | 0,188                 | 0,139 | 0,925   | 0,40                     | 0,500                 | 0,320 | 0,800   | 0,70                     | 0,875                 | 0,455 | 0,650   |
| 0,16                     | 0,200                 | 0,147 | 0,920   | 0,41                     | 0,513                 | 0,326 | 0,795   | 0,72                     | 0,900                 | 0,461 | 0,640   |
| 0,17                     | 0,213                 | 0,156 | 0,915   | 0,42                     | 0,525                 | 0,332 | 0,790   | 0,74                     | 0,925                 | 0,466 | 0,630   |
| 0,18                     | 0,225                 | 0,164 | 0,910   | 0,43                     | 0,538                 | 0,338 | 0,785   | 0,76                     | 0,950                 | 0,471 | 0,620   |
| 0,19                     | 0,238                 | 0,172 | 0,905   | 0,44                     | 0,550                 | 0,343 | 0,780   | 0,78                     | 0,975                 | 0,476 | 0,610   |
| 0,20                     | 0,250                 | 0,180 | 0,900   | 0,45                     | 0,563                 | 0,349 | 0,775   | 0,80                     | 1,000                 | 0,480 | 0,600   |
| 0,21                     | 0,263                 | 0,188 | 0,895   | 0,46                     | 0,575                 | 0,354 | 0,770   | 0,85                     | 1,063                 | 0,489 | 0,575   |
| 0,22                     | 0,275                 | 0,196 | 0,890   | 0,47                     | 0,588                 | 0,360 | 0,765   | 0,90                     | 1,125                 | 0,495 | 0,550   |
| 0,23                     | 0,288                 | 0,204 | 0,885   | 0,48                     | 0,600                 | 0,365 | 0,760   | 0,95                     | 1,188                 | 0,499 | 0,525   |
| 0,24                     | 0,300                 | 0,211 | 0,880   | 0,49                     | 0,613                 | 0,370 | 0,755   | 1,00                     | 1,250                 | 0,500 | 0,500   |
| 0,25                     | 0,313                 | 0,219 | 0,875   | 0,50                     | 0,625                 | 0,375 | 0,750   |                          |                       |       |         |

Tabelis  $\xi = \frac{x}{d_1}$   $\omega = \frac{y}{d_1} = 0,8\xi$   $\zeta = 1 - 0,5\omega$   $\mu = \omega(1 - 0,5\omega)$   $\omega = 1 - \sqrt{1 - 2\mu}$

Täisnurkristlõikel  $\omega = (f_{yd} A_{s1} - f_{yed} A_{s2}) / (f_{cd} b d_1)$  ja  $\mu = [M_{Ed} - f_{yed} A_{s2} (d_1 - d_2)] / (f_{cd} b d_1^2)$